

ビショップ分割法を用いた三次元支持力解析 (I)

Three Dimensional Bearing Capacity Analysis by use of Bishop's Method of Slices (I)

成田 国朝・山口 柏樹^{*}
Kunitomo Narita and Hakuju Yamaguchi

Although the method of slices for slope stability has been verified successful in the calculation of bearing capacity of strip footings on inhomogeneous and an-isotropic foundations, it has not yet been applied for three dimensional problems. A conventional 3D analysis of bearing capacity of square and rectangular footings is presented in this paper, by use of the Bishop's simplified method of slices, for assumed curved sliding surfaces composed of log-spirals in the direction of the longer axis of the base.

The paper consists of two parts; Part(I), derivation of equilibrium equations to obtain bearing capacity, and Part(II), numerical calculations to study characteristics of 3D solutions and shape factors.

1. はじめに

地盤の支持力評価は帯基礎（二次元）問題として歴史的にも古くから研究が進められ、理論的な面での成果はほぼ一定の水準に達したと考えてよい。これに対し円形基礎や正方形および長方形基礎のような、いわゆる三次元支持力問題では、その数学的な取扱いの困難さが解析的研究の進展を阻害する大きな障壁となり、解析対象をかなり限定せざるを得ない状況にある。したがって、実際問題における支持力評価においては、実用的な見地から帯基礎の支持力公式を流用し、これに実験や経験等から定めた形状係数を導入する形で議論が進められている¹⁾。

三次元支持力理論については、著者らの一人²⁾がこれまでの研究成果を紹介し、研究展望をまとめている。理論的研究の歴史は1950年代に遡り、Shieldら³⁾が非排水（非圧縮）条件が満たされる Tresca材（ $\phi = 0$ 材）としての均質粘土地盤上の正方形及び

長方形基礎に対し、極限解析を行って支持力の上界値と下界値を求めている。正規圧密粘土地盤のように非排水強さが深さとともに増加する問題については、中瀬⁴⁾が長方形基礎に対して円筒形状のすべり面を仮定した安定計算を行い、その結果を帯基礎の厳密解と対比して形状係数の形で整理し、実設計への資料を与えている。鶴飼⁵⁾は、上記Shieldらが提案した可容速度場を部分的に改良して、基礎底面の粗滑を含むより一般的な条件下での極限解析を行い、従来解との比較を通じて正規圧密粘土地盤上の正方形及び長方形基礎の支持力を総括的に論じている。

円形基礎は軸対称載荷問題であるから理論的な取扱いが比較的容易であり、古くから Kötter 方程式を解く剛塑性解析が行われている⁶⁾⁷⁾。この種の解析では、中間主応力（円周応力： σ_θ ）の仮定の仕方によって支持力特性が大きく変化することが考えられるため、山口ら⁸⁾や勝見⁹⁾は、最大・最小主応力（ σ_1 , σ_3 ）の間で σ_θ を幾つか変化させた解析を行い、支持力の値やその分布形状に与える σ_θ の影響を調べている。また、鶴飼¹⁰⁾は内部摩擦角 ϕ' の応力依存性を考慮できる降伏条件式を用いて同様の

解析を行い、 $\sigma\theta$ の増加に伴う ϕ' の増加と半径方向への押し出し分力の増加の相乗作用によって支持力は単調に変化しないことを示している。

ところで、帯基礎では斜面安定解析の分割法を用いた支持力計算法が、不均質性や異方性など、複雑な特性を有する地盤において有用であることが示されている¹¹⁾。一方、有限幅の載荷では地盤内で曲面状のすべり破壊が想定されるが、この種の三次元すべりに対する安定解析は斜面安定問題において既に幾つか見られており、その成果は着々と実を結びつつある。これらは主として、円筒や円錐体あるいは回転楕円体などで表現されるすべり土塊を柱状の要素に分割して極限平衡解析を行うものであり、分割柱体間力を全て無視したHovland¹²⁾の簡便解析やSpencer法を拡張したChenら¹³⁾の解析をはじめとして、Bakerら¹⁴⁾の変分法に基づく解析、Hung¹⁵⁾や鶴飼ら¹⁶⁾の簡易Bishop法やJanbu法を拡張した解析などが実用的な手法として提案されている。しかし、三次元支持力問題において、これらの斜面安定解析の手法を応用した例は未だ見られていない。

本研究は、対数らせんを長辺方向に組み合わせる構成される曲面状のすべり面に対して、斜面安定解析で用いられる簡易ビショップ分割法を適用し、正方形および長方形基礎に対する簡便な三次元支持力解析法を提案しようとするものである。

論文は以下の2部構成とし、内容を

- (I) 支持力解析法の提示
- (II) 数値計算結果と考察

に分けてまとめる。本編は(I)として、三次元支持力に関する従来の研究成果を概観し、本研究の位置付けを示したのち、分割法を用いた支持力解析法を詳述する。なお、論文構成の統一を図る意味で、図表および式の番号は(I)、(II)編を通じて連番とし、参考文献は本編に一括掲載することにした。

2. 分割法支持力解析

2.1 すべり面の仮定

本論文で仮定した曲面すべり面の形状を図-1の(a)平面図、(b)側面図および(c)正面図に示す。すべり面は、基本的には基礎左端を通る対数らせんの組み合わせで構成されるものとし、その大きさ(すべり領域幅 a およびすべり面深さ h)を楕円形状に変化させて立体的な曲面を与える。以下では、基礎の中央から長辺 L 方向(すべり回転軸方向)に x 軸、短辺 B 方向(すべり方向)に y 軸、深さ方向(鉛直下方)に z 軸を設定する。

側面図において、すべり面の最大断面(領域幅： a_0 、深さ： h_0)を与える対数らせんの極を点 O とすると、その位置は始線 OA の長さ r_0 と基礎面から

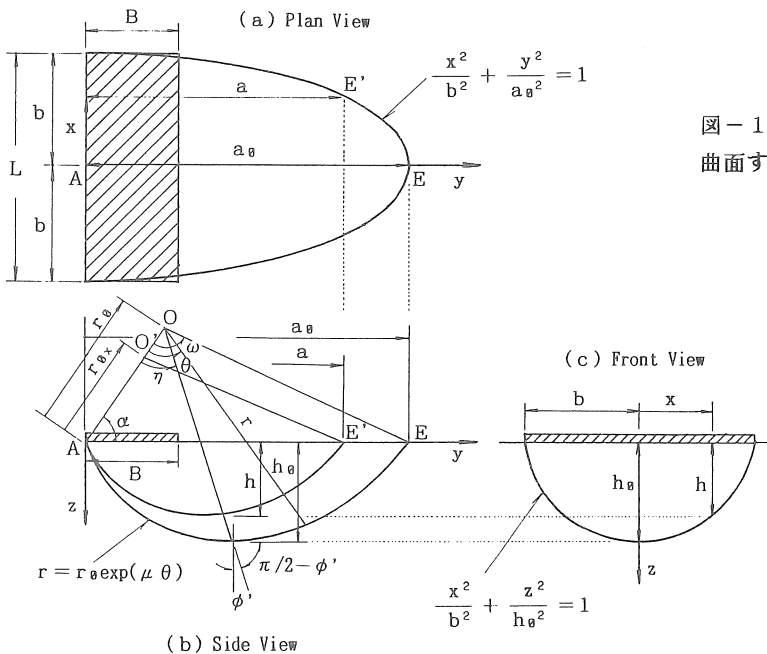


図-1
曲面すべり面の仮定

の傾角 α の組み合わせで規定される。このとき対数ら線の方程式は、 $\mu = \tan \phi'$ (ϕ' : 有効せん断抵抗角) と置き、始線から測った角 θ を変数として

$$r = r_0 \exp(\mu \theta) \quad (1)$$

で表され、ら線上の任意点の座標 (y, z) は

$$\begin{aligned} y &= r_0 [\cos \alpha - \exp(\mu \theta) \cos(\alpha + \theta)] \\ z &= r_0 [\exp(\mu \theta) \sin(\alpha + \theta) - \sin \alpha] \end{aligned} \quad (2)$$

で与えられる。ら線の中心角を ω と置くと、第1式で $\theta = \omega$ とした y が a_0 を与えるから

$$a_0 = r_0 [\cos \alpha - \exp(\mu \omega) \cos(\alpha + \omega)] \quad (3)$$

ただし、 ω は α との間に

$$\exp(\mu \omega) = \sin \alpha / \sin(\alpha + \omega) \quad (4)$$

の関係がある。一方、 $\theta = \eta$ で対数ら線が最深点を通るとすると、幾何学的な関係から

$$\eta = \pi/2 + \phi' - \alpha \quad (5)$$

であり、このとき $z = h_0$ となって

$$h_0 = r_0 [\exp(\mu \eta) \cos \phi' - \sin \alpha] \quad (6)$$

を得る。以上、式(3)および式(6)によって、最大断面を与える極の位置 (r_0, α) と断面値 (a_0, h_0) の関係が定まる。

さて、最大断面より長辺 L 方向に x だけ離れた位置のすべり面の形状を断面値 (a, h) を有する対数ら線と考え、その変化を楕円の方程式で表現する。

すなわち、 a 値は $x y$ 面内 (平面図) で a_0, b を長短軸とする楕円の y 座標値で、 h 値は $x z$ 面内 (正面図) で b, h_0 を長短軸とする楕円の z 座標値で与えられるものとする、(a, h) と位置 x の関係は

$$a (=y) = a_0 \sqrt{1 - (x/b)^2} \quad (7)$$

$$h (=z) = h_0 \sqrt{1 - (x/b)^2}$$

となる。上式で明らかのように、断面値の比率は $a/h = a_0/h_0$ となって、 x によらず一定である。また、式(3)、(6)から、この比率 a_0/h_0 は (r_0 が消去される結果) α だけの関数で表されることが分かる。したがって、任意の x に対し対数ら線の形状は最大断面と相似に与えられ、始線の傾角 α は一定で、極の位置は側面からみて $O A$ 上で移動することになる。このとき、 x 位置の始線長 r_{0x} は式(7)の断面値 (a, h) と比例関係にあるから、最大断面の r_0 に対して次の関係で定まる。

$$r_{0x} = r_0 \sqrt{1 - (x/b)^2} \quad (8)$$

2. 2 分割土柱に作用する力

前節で定義した曲面状のすべり領域を、図-2のように地表面で ($\Delta x \times \Delta y$) の辺長を有する微小な角柱体の土柱に分割する。底面 (すべり面) の幾何学的条件を規定する4点の z 座標を $z_1 \sim z_4$ とすると、各諸量は以下のように与えられる。

①土柱高: $h_{xy} = (z_1 + z_2 + z_3 + z_4)/4$

②すべり面の傾き (α_x, α_y)

$$\begin{aligned} xz \text{ 面内: } \tan \alpha_x &= \partial z / \partial x \\ &= (z_4 + z_3 - z_2 - z_1) / (2\Delta x) \end{aligned}$$

$$\begin{aligned} yz \text{ 面内: } \tan \alpha_y &= \partial z / \partial y \\ &= (z_4 + z_2 - z_3 - z_1) / (2\Delta y) \end{aligned}$$

③すべり面の法線方向余弦 (l, m, n)

$$l = -\tan \alpha_x / \lambda, \quad m = -\tan \alpha_y / \lambda, \quad n = 1/\lambda$$

ただし、 $\lambda = \sqrt{1 + \tan^2 \alpha_x + \tan^2 \alpha_y}$

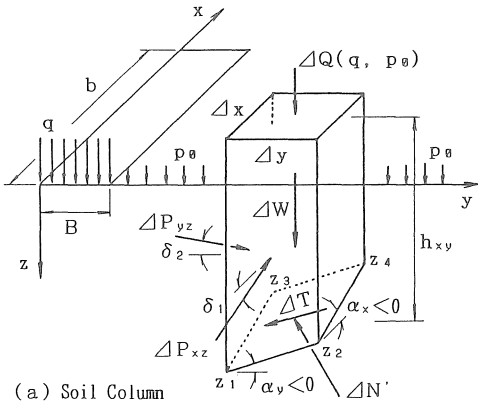
④土柱の底面積: $\Delta A = \lambda \Delta x \Delta y$

(9)

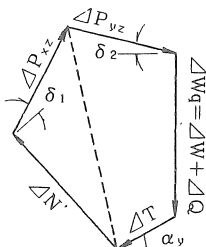
さて、分割土柱に働く力は自重や地表面荷重、すべり面上の垂直・せん断力、そして土柱側面に作用する不静定内力に分けられる。各力の作用状況と力の多角形を図-2 (a), (b) に示し、その特性を以下に整理する。

①自重: $\Delta W = \gamma h_{xy} \cdot \Delta x \Delta y$

水面下では γ に水中単位体積重量 γ' を用いて有効重量を計算する。



(a) Soil Column



(b) Force Polygon of a Column

図-2 分割土柱に作用する力

地表面荷重： $\Delta Q = (q, p_0) \cdot \Delta x \Delta y$
 基礎面内では支持力値 q 、面外ではサー
 チャージ p_0 をとる。

2つの力はまとめて扱うことができ

$$\Delta Wq = \Delta W + \Delta Q = \sigma_v' \cdot \Delta x \Delta y$$

$$\sigma_v' = \begin{cases} q + \gamma h_{xy} & (0 \leq y \leq B) \\ p_0 + \gamma h_{xy} & (B < y) \end{cases} \quad (10)$$

と整理される。方向余弦は $(0, 0, 1)$ である。

② すべり面上の有効垂直力： $\Delta N'$

有効重量 ΔWq に応じて、垂直力も有効応力で
 考える。すべり面の法線方向に作用するから、
 方向余弦は式(9)の $(1, m, n)$ である。

③ すべり面上のせん断力： ΔT

$y z$ 面内に作用し、すべりと直交する x 軸方向
 の成分はないと仮定する。したがって、方向余
 弦は $(0, \cos \alpha_x, \sin \alpha_y)$ である。

④ $x z$ 面内の不静定内力： ΔP_{xz}

$x z$ 面内に現れる 2つの側面に作用する不静定
 内力の合力を ΔP_{xz} と置く。水平に対し下向き
 に角度 δ_1 を測ると、方向余弦は $(\cos \delta_1, 0,$
 $\sin \delta_1)$ となる。すべりと直交する方向に作用
 するので、すべり土塊に対する側方拘束力¹⁷⁾
 としての意味をもつ。

⑤ $y z$ 面内の不静定内力： ΔP_{yz}

$y z$ 面内の不静定内力の合力であり、二次元問
 題で扱う断面力（あるいは側面力）に相当する。
 水平に対し下向きに角度 δ_2 を測り、方向余弦
 を $(0, \cos \delta_2, \sin \delta_2)$ とする。

問題を静定化するためには、上記の 2つの不静定
 内力に関して何等かの条件を付与する必要があり、
 本論文では以下の仮定を設けることにする。

ΔP_{xz} ：土塊内の側方拘束力はすべり面に平行に
 作用する ($\delta_1 = \alpha_x$) と仮定する。方向
 余弦は $(\cos \alpha_x, 0, \sin \alpha_x)$ となる。

ΔP_{yz} ：簡易ビシヨップ法に準じて、断面力は水
 平に作用する ($\delta_2 = 0$) と仮定する。方
 向余弦は $(0, 1, 0)$ になる。

図-2 (b) において、 ΔWq 、 ΔT および ΔP_{yz}
 は $y z$ 面内の力、 ΔP_{xz} は $x z$ 面内の力であり、更
 に上の $\delta_1 = \alpha_x$ 、 $\delta_2 = 0$ を考慮すると、鉛直方向
 の力のつり合いより

$$\Delta N' n - \Delta P_{xz} \sin \alpha_x + \Delta T \sin \alpha_y - \Delta Wq = 0$$

また、 $x z$ 面内での水平方向のつり合いより

$$\Delta N' l - \Delta P_{xz} \cos \alpha_x = 0$$

となり、 ΔP_{xz} を消去すると

$$\Delta N' (1 + \tan^2 \alpha_x) / \lambda + \Delta T \sin \alpha_y = \Delta Wq \quad (11)$$

を得る。一方、支持力問題では地盤が極限平衡状態
 (すべり面上で強度安全率： $F_s = 1$) に至った時点
 を対象としているので、 ΔT はすべり面上で発揮さ
 れるせん断抵抗力 ΔSB に等しく、 $\Delta N'$ との間に

$$\Delta T = \Delta SB = c' \Delta A + \Delta N' \tan \phi' \quad (12)$$

の関係がある。ここで、 c' は有効粘着力である。
 式(11)、(12)より ΔT を消去して $\Delta N'$ を求めると

$$\Delta N' = (\Delta Wq - c' \lambda \Delta x \Delta y \sin \alpha_y) / m \alpha$$

$$m \alpha = (1 + \tan^2 \alpha_x) / \lambda + \sin \alpha_y \tan \phi' \quad (13)$$

となり、これを式(12)に再代入すると次式を得る。

$$\Delta T = \{ c' \Delta x \Delta y (1 + \tan^2 \alpha_x) + \Delta Wq \tan \phi' \} / m \alpha \quad (14)$$

上式で $\Delta Wq = \sigma_v' \Delta x \Delta y$ であるから、ビシヨ
 ップ法におけるすべり面上のせん断抵抗 (τB) は、
 $\tau B = \Delta T / \Delta A = \Delta T / (\lambda \Delta x \Delta y)$ より

$$\tau B = \{ c' (1 + \tan^2 \alpha_x) + \sigma_v' \tan \phi' \} / (\lambda \cdot m \alpha) \quad (15)$$

と表される。ここで、 $y z$ 面内の二次元すべりを考
 えると、 $\alpha_x = 0$ 、 $\lambda = 1 / \cos \alpha_y$ であるから

$$\tau B = \frac{c' + \sigma_v' \tan \phi'}{1 + \tan \alpha_y \tan \phi'} \quad (16)$$

となり、周知の関係式¹⁸⁾を得る。

2. 3 支持力計算

以上の諸式を通じて水平地盤の支持力解析を行う
 のであるが、その基本的な考え方は今泉ら¹¹⁾ の二
 次元解析と同様であり、すべり土塊全体のモーメン
 トつり合いを調べて支持力値 q を逆算する方法をと
 る。図-3 にすべり領域の分割方法を示す。図中の
 主な記号は以下の通りである。

i ： x 軸方向の分割柱番号

j ： y 軸方向の分割柱番号

NB：基礎短辺 B の分割個数

Nb：基礎長辺の半分 b の分割個数

Ns $_i$ ： $x = x_i$ での y 軸方向の分割個数

なお、すべり領域を一様な大きさの角柱体で分割し
 ようとすると末端部に図-4 に示すような三角柱体
 の土柱が残る。この三角柱体の幾何形状を表す諸量
 は、式(9)で $z_1 \sim z_3$ を用いれば角柱体と同様に求
 められる。したがって、以下の展開において角柱体
 と三角柱体は本質的に区別なく取り扱ってよい。

ところで、前節に示した分割土柱に働く 5つの力

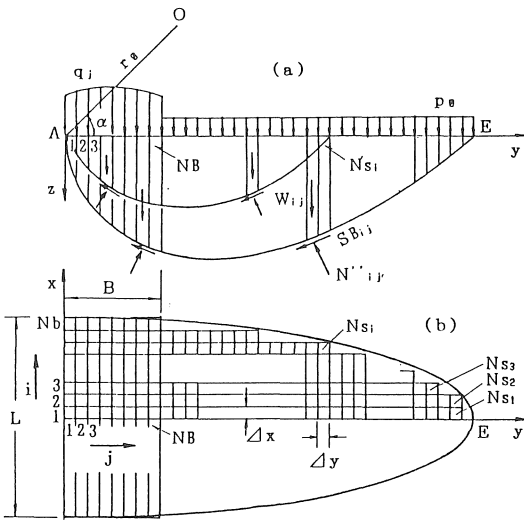


図-3 すべり領域の分割

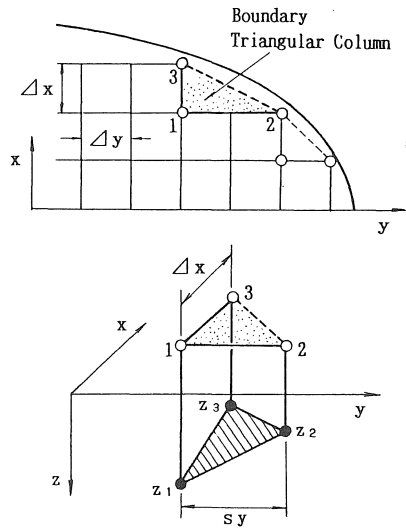


図-4 末端部の三角柱体

のうち、不静定内力は全体のつり合いに関与しないから、すべり土塊のモーメントつり合いにおいて考慮すべき力は ΔWq , $\Delta N'$, $\Delta T (= \Delta SB)$ の3つである。(x, y)方向の(i, j)番目の分割柱に関する諸量には添字 i, j を適宜付けることにして、 $\Delta Wq \rightarrow W_{ij}$, $\Delta N' \rightarrow N'_{ij}$, $\Delta SB \rightarrow SB_{ij}$ など書き改めると、次のように整理される。

①分割柱鉛直力: W_{ij}

自重と表面力の和として式(10)で表され

$$W_{ij} = \sigma_{v'ij} \cdot \Delta x \Delta y \quad (17)$$

$$\sigma_{v'ij} = \begin{cases} q_j + \gamma h_{ij} & (1 \leq j \leq NB) \\ p_0 + \gamma h_{ij} & (NB+1 \leq j \leq Ns_1) \end{cases}$$

ここで、 q_j は分布支持力、 p_0 はサーチャージ、 γh_{ij} は土かぶり圧である。支持力成分によって q_j には異なる分布形が想定されるので¹¹⁾、ここでは一般形状として、基礎幅B内で対称的な図-5のような支持力分布を考える。支持力

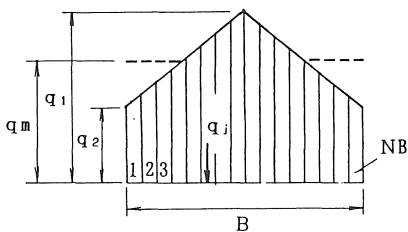


図-5 支持力分布の仮定

の平均値を $q_m = Q/BL = (q_1 + q_2)/2$ として $y = y_j$ の分布力を $q_j = f_j \cdot q_m$ の形で表すと、 f_j の一般形は次のようになる($q_2' = q_2/q_m$, $F(j) = 2(2j-1)/NB$ と置く)。

左区間: $f_j = F(j) + q_2' \{1 - F(j)\}$

右区間: $f_j = 4 - F(j) + q_2' \{F(j) - 3\}$

特別な場合として、一様分布では $q_2' = 1$ で j によらず $f_j = 1$ 、三角形分布では $q_2' = 0$ で f_j は最終項を除いた形になる。

②分割柱底面有効垂直力: N'_{ij}

式(13)で与えられ、式(17)を用いると

$$N'_{ij} = (\sigma_{v'ij} - c' \lambda \sin \alpha_v) \times \Delta x \Delta y / m \alpha \quad (18)$$

③分割柱底面せん断抵抗力: SB_{ij}

式(15)の τB より ($n \alpha = 1 + \tan^2 \alpha_x$ と置く)

$$SB_{ij} = \tau B_{ij} \lambda \Delta x \Delta y \quad (19)$$

$$\tau B_{ij} = (c' n \alpha + \sigma_{v'ij} \tan \phi') / (\lambda \cdot m \alpha)$$

さて、最大断面を与える対数ら線の極 $O(r_0, \alpha)$ を通り x 軸に平行な軸線に関してモーメントつり合いを考える(図-6)。すべり面が円弧でなく、また x 軸方向の任意地点のすべり面を与える対数ら線の極 $O'(r_{0x}, \alpha)$ がモーメント回転軸と一致しないから、底面垂直力 N'_{ij} もモーメントつり合いに関与する。ただし、モーメントに寄与するのは N'_{ij} の y z 面内の成分であり、これを N''_{ij} と置くと

$$N''_{ij} = N'_{ij} \sqrt{m^2 + n^2} = N'_{ij} / (\lambda \cos \alpha_v)$$

- 7) Cox, A. D., Eason, G. and Hopkins, H. G.: "Axially symmetric plastic deformations in soils," *Phil. Trans. Roy. Soc. of London A*, Vol. 254, No. 1036, pp. 1-45.
- 8) 山口柏樹・木村孟・寺師昌明(1968): "極限支持力の精密解について," 第3回土質工学研究発表会講演集, II-15, pp. 333-338.
- 9) 勝見雅(1976): "中間主応力に注目した円形剛基礎の支持力に関する研究," 土木学会論文報告集, 第252号, pp. 73-85.
- 10) 鶴飼恵三(1987): "砂地盤上の円形基礎の支持力に関する剛塑性解析," 土質工学会論文報告集, Vol. 27, No. 4, pp. 204-207.
- 11) 今泉繁良・山口柏樹(1986): "分割法による地盤の支持力計算法," 土質工学会論文報告集, Vol. 26, No. 2, pp. 143-150.
- 12) Hovland, H. J. (1977): "Three-dimensional slope stability analysis method," *Proc. of ASCE*, Vol. 103, GT9, pp. 971-986.
- 13) Chen, R. H. and Chameau, J. L. (1982): "Three-dimensional limit equilibrium analysis of slopes," *Geotechnique*, Vol. 32, No. 1, pp. 31-40.
- 14) Baker, R. and Leshchinsky, D. (1987): "Stability analysis of conical heaps," *Soils and Foundations*, Vol. 27, No. 4, pp. 99-110.
- 15) Hungr, O. (1987): "An extension of Bishop's simplified method of slope stability analysis to three dimensions," *Geotechnique*, Vol. 37, No. 1, pp. 113-117.
- 16) 鶴飼恵三・細堀建司(1988): "簡易Bishop法、簡易Janbu法およびSpencer法の三次元への拡張," 土木学会論文集, 第394号/Ⅲ-9, pp. 21-26.
- 17) 鶴飼恵三・細堀建司・永瀬英生・榎戸源則(1986): "簡易分割法による斜面の三次元安定解析," 土木学会論文集, 第376号/Ⅲ-6, pp. 267-276.
- 18) 山口柏樹(1984): "(全改訂) 土質力学," 技報堂, pp. 262-270.
- 19) Narita, K. and Yamaguchi, H. (1989): "Analysis of bearing capacity for log-spiral sliding surfaces," *Soils and Foundations*, Vol. 29, No. 2, pp. 85-98.
- 20) Narita, K. and Yamaguchi, H. (1991): "Closure," *Soils and Foundations*, Vol. 31, No. 1.
- 21) Brinch Hansen J. (1961): "A general formula for bearing capacity," *Bulletin No. 11*, Danish Geotechnical Institute, pp. 38-46.
- 22) Meyerhof, G. G. (1963): "Some recent research on the bearing capacity of foundations," *Can. Geotech. Jour.*, Vol. I, No. 1, pp. 16-26.
- 23) De Beer, E. E. (1970): "Experimental determination of the shape factors and the bearing capacity factors of sand," *Geotechnique*, Vol. 20, No. 4, pp. 387-411.

(受理 平成3年3月20日)